

발포 폴리스티렌 품을 이용한 다기능 열선절단장치 개발

이상호*(KAIST 기계기술연구소), 김효찬(KAIST 대학원), 양동열(KAIST),
박승교(Menix 메닉스), 김찬국(Menix 메닉스)

Development of Multi-functional Hotwire Cutting System using EPS-foam

Sang-Ho Lee*(Research Institute of Mechanical Technology, KAIST),
Hyo-Chan Kim(Graduate School, KAIST), Dong-Yol Yang(KAIST),
Seung-Kyo Park(Menix Engineering, Ltd.), Chan-Kuk Kim(Menix Engineering, Ltd.)

ABSTRACT

A thick-layered RP process, transfer-type variable lamination manufacturing using expandable polystyrene foam (VLM-ST) has been developed to have the advantageous characteristics such as high building speed, low cost for introduction and maintenance of VLM-ST apparatus, and little staircase surface irregularities of parts. However, VLM-ST has difficulty fabricating an axisymmetric shape and a large-sized freeform shape because of the limited sloping angles and small build size. The objective of this paper is to develop a multi-functional hotwire cutting system using EPS-foam (MHC). MHC employs a four-axis synchronized hotwire cutter with the structure of two XY movable heads and a turntable. In order to examine the applicability of the developed MHC apparatus, an axisymmetric shape, a polyhedral shape and a large-sized freeform shape were fabricated on the apparatus.

Key Words : VLM-ST (단속형 가변적층제속조형공정), MHC (다기능 열선가공장치), axisymmetric shape (축대칭 형상), large-sized freeform shape (대형 자유표면 형상), turntable (회전 테이블)

1. 서론

2001년 Yang 과 Ahn 등이 제안한 단속형 가변적층제속조형공정(VLM-ST)은 1 mm 이하의 얇은 층을 이용하는 종래의 제속조형시스템^{1,2}과 1 mm 이상의 후판적층제속조형공정의 단점을 극복할 수 있도록 개발되었다. VLM-ST 장치³는 3 차원 CAD 모델로부터 생성된 USL 데이터에 따라서 (X, Y)로 병진운동과 (θ_x , θ_y)로 회전운동을 수행하는 외팔보 구조의 4 축 동시제어되는 선형열선절단기를 이용하여 발포폴리스티렌 품을 절단/적층하여 3 차원 형상을 빠르게 제작 가능하다. 하지만, VLM-ST 장치도 최대 65°로 제한된 경사각과 작은 조형크기 (VLM300: 297×210 mm, VLM400: 420×297 mm)로 인하여 축대칭형상이나 대형조형물 제작에 다소 어려움이 있다. 또한, 기둥과 같은 축대칭 형상을 제작하는데에도 모든 층을 각각 쌓아올려 제작해

야하기 때문에 작업의 효율성이 떨어진다.

본 연구에서는 VLM-ST 장치의 단점을 보완할 수 있도록 CAD 데이터로부터 축대칭 형상이나 다면체 형상, 그리고 대형 3 차원 조형물을 쉽게 제작할 수 있는 발포폴리스티렌 품을 이용한 다기능 열선가공장치(MHC: Multi-functional Hotwire Cutting system using EPS-foam)를 개발하고자 한다. 그리고, 다기능 열선가공장치를 이용하여 3 차원 형상을 제작함으로써 제안된 장치의 적용성과 효율성을 검증하고자 한다.

2. 다기능 열선 가공 장치

다기능 열선가공장치의 개념도는 Fig. 1에 보여진 바와 같다. 다기능 열선가공장치는 3 차원 CAD 모델 데이터로부터 생성된 절단경로 데이터에 따라 두 개의 XY 헤드 사이에 연결된 열선을

이용하여 다양한 두께를 가진 최대 1200×900 mm 크기의 EPS 폼 판재를 순서대로 절단/적층하여 대형 3 차원 조형물을 빠르게 제작하거나 회전 테이블과 열띠(hot-strip)를 이용하여 EPS 폼 블록(block)을 가공하여 구나 원뿔, 원기둥 등과 같은 축대칭 형상을 쉽고 간편하게 제작할 수 있는 장치이다.

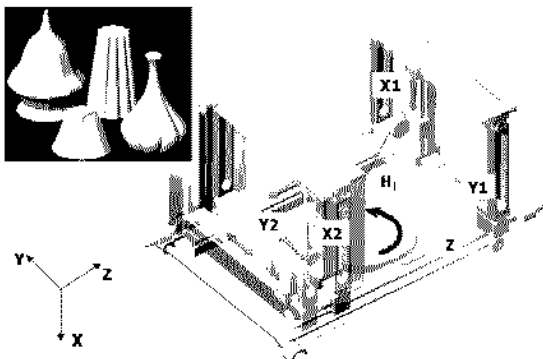


Fig. 1 Schematic of multi-functional hotwire cutting system

다기능 열선가공장치는 Fig. 2에 보여진 바와 같이 두 개의 XY 헤드 사이에 열선이 연결된 열선절단기와 회전테이블, 그리고 시스템 제어부로 구성된다.

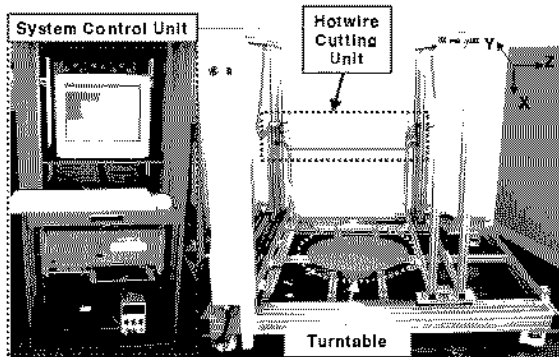


Fig. 2 Multi-functional hotwire cutting apparatus

3. 열선절단기의 절단 경로 데이터 생성

다기능열선가공장치에서 다면체 형상과 축대칭 형상을 제작하고자 하는 경우, 별도의 절단경로데이터의 생성 없이 회전테이블과 열선절단기 또는 열띠를 이용하여 수동으로 제작 가능하다. 반면에

다기능열선가공장치로 적층방식을 이용한 일반적인 3 차원 형상을 제작하기 위해서는 각 층에 대한 열선절단기의 절단경로데이터 (X_1, Y_1, X_2, Y_2, H_i)를 생성하여야 한다.

3.1 열선절단기의 자세 묘사

Fig. 3에 보여진 바와 같이 다기능열선가공장치의 열선절단기의 자세를 정의한다. Fig. 6에 나타낸 변수 중에서 W, R, C 는 각각의 열선지지판의 위치를 계산하는데 필요한 설계 변수값으로서 W 는 YZ 평면상에서 열선 지지대가 고정되어 있는 축간의 Z 방향으로의 수직거리이고, R 은 열선지지판의 반지름이며, C 는 XZ 평면상에서 열선지지대의 중심축과 열선지지판의 중심 사이의 Z 방향으로의 수직거리를 나타낸다. 현재 설계된 열선절단기에서는 R 값과 C 값이 동일하도록 제작되었다.

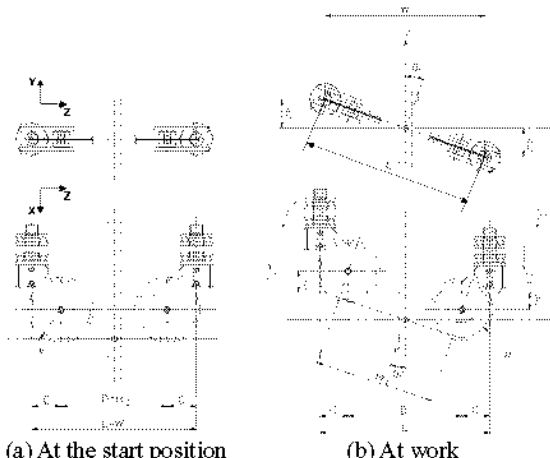


Fig. 3 Posture of hotwire cutter

3.2 절단경로데이터 계산

VLM-ST 공정용 절단경로데이터를 이용하여 다기능열선가공장치용 절단경로데이터의 계산하기 위해서 3 차원 CAD 모델의 STL 데이터로부터 USL 데이터 (x, y, θ_x, θ_y)⁴를 생성한다.

그리고 나서, 주어진 설계변수 W, C 값과 USL 데이터의 회전각 (θ_x, θ_y)로부터 L, D, θ_y 값은 각각 다음과 같이 구한다.

$$L = \frac{W}{\cos \theta_x} \quad (1)$$

$$D = L - 2 \cdot C \quad (2)$$

$$\theta_y' = \tan^{-1}(\tan \theta_y \cdot \cos \theta_x) \quad (3)$$

여기서, L 은 양쪽 열선지지대의 중심축 사이의 수직거리이고, D 는 열선지지원판의 중심 사이의 수직 거리이며, θ_y' 은 Z 축 방향벡터와 열선사이의 각도를 나타낸다.

최종적으로 주어진 설계변수 W, R 값과 식(2), (3)으로 구해지는 D, θ_y' 값, 그리고 USL 데이터 (x, y, θ_x, θ_y)로부터 다기능열선가공장치의 절단경로 데이터 (X_1, Y_1, X_2, Y_2, H_t)을 다음과 같이 계산할 수 있다.

$$X_1 = x - [D/2 \cdot \tan \theta_y' + R(1/\cos \theta_y' - 1)] \quad (4)$$

$$Y_1 = y + W/2 \cdot \tan \theta_x \quad (5)$$

$$X_2 = x + [D/2 \cdot \tan \theta_y' - R(1/\cos \theta_y' - 1)] \quad (6)$$

$$Y_2 = y - W/2 \cdot \tan \theta_x \quad (7)$$

$$H_t = D/\cos \theta_y' \quad (8)$$

여기서, X_1, Y_1 은 왼쪽에 있는 열선지지원판의 중심의 위치이고, X_2, Y_2 는 오른쪽에 있는 열선지지원판의 중심의 위치이며, H_t 은 열선의 길이를 나타낸다.

4. 삼차원 형상 제작

본 논문에서 개발한 다기능열선가공장치의 적용성을 검증하기 위하여 축대칭형상, 다면체형상, 자유표면형상을 제작하는 방법을 설명하고 실제 3 차원 형상을 제작하였다.

4.1 축대칭형상 제작

Fig. 4 은 다기능열선가공장치를 이용하여 제퍼슨기념관의 지붕형상을 위의 과정으로 제작한 예를 보여준다.

VLM-ST 장치를 이용하여 제퍼슨기념관의 지붕형상과 같은 반구형상을 제작하는 경우, 제한된 경사각 때문에 반구의 맨 윗부분으로 갈수록 정밀도가 떨어질 뿐만 아니라, 한층씩 적층하여 제작하기

때문에 작업 효율이 떨어진다.

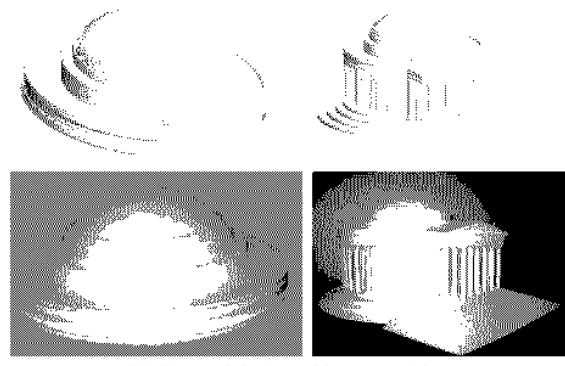
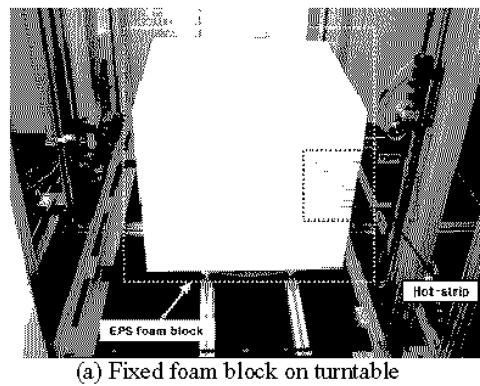
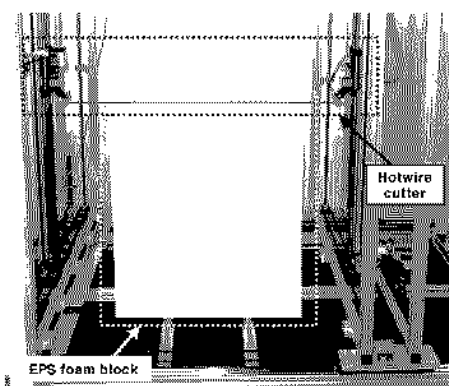


Fig. 4 Axi-symmetric shape fabricated by MHC apparatus : roof of Jefferson memorial

Fig. 8 에 보여진 바와 같이 다기능열선가공장치는 열띠(hot-strip)와 회전테이블을 이용함으로써 제퍼슨기념관의 지붕형상을 한 번의 작업으로 손쉽게 제작할 수 있다.

4.2 다면체형상 제작

Fig. 5 는 다기능열선가공장치를 이용하여 측면이 다면체로 구성된 탑형상을 제작한 예를 보여준다. VLM-ST 장치를 이용하여 이와 같은 탑형상을 제작할 경우, 제한된 경사각 때문에 수평에 가까운 측면경사는 구현이 불가능하고 한층씩 적층하여 제작하기 때문에 작업 효율이 떨어진다. 하지만, Fig. 9 에 보여진 바와 같이 다기능열선가공장치는 열선절단기와 회전테이블을 이용함으로써 탑형상을 손쉽게 제작할 수 있다.



(a) Hotwire cutter and foam block at the starting position



Fig. 5 Polyhedral shape fabricated by MHC apparatus : Pagoda shape

4.3 자유표면형상 제작

Fig. 6 은 다기능열선가공장치를 이용하여 조형크기가 $630 \times 440 \times 1,315$ mm 인 이순신장군상을 제작한 예를 보여준다. 기존의 VLM-ST 장치를 이용하여 대형 조형물을 제작할 경우, 최대조형크기 (297×420 mm)에 맞도록 STL 데이터를 여러 조각으로 분할한 다음, 각각을 절단/적층하고 나서 다시 또 각각의 분할된 조각들을 조립해야 하기 때문에 상당한 시간이 소요된다. 하지만, 다기능열선가공장치를 이용할 경우, 최대조형크기가 820×1060 mm 이므로 조형크기가 $630 \times 440 \times 1,315$ mm 인 이순신장군상을 분할/조립의 과정 없이 하나의 일체화된 형상으로 제작할 수 있기 때문에 전체 조형시간을 크게 단축시킬 수 있다.

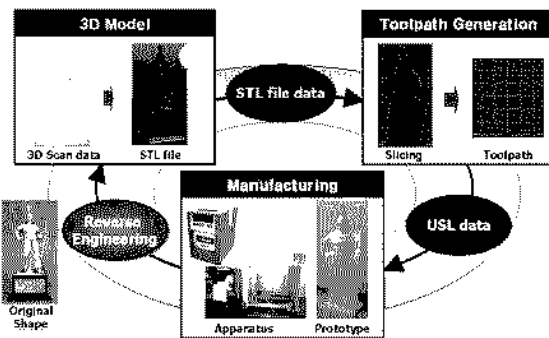


Fig. 6 Freeform shape fabricated by MHC apparatus : statue of general Yi Sun-Sin

5. 결론

본 논문에서는 VLM-ST 장치의 단점을 보완하고 장점은 그대로 가지고 있는 다기능열선가공장치(MHC: Multi-functional Hotwire Cutting system using EPS-foam)를 개발하였다. 이렇게 개발된 다기능열선가공장치를 이용하여 실제로 제작한 기념관의 지붕형상과 탑형상, 그리고 이순신장군상을 제작함으로써 축대침형상과 다면체형상은 물론이고 일반적인 대형 3 차원 형상 제작에도 효과적으로 적용할 수 있음을 보였다.

참고문헌

1. Jacobs, P. F., *Stereolithography and other RP&M Technologies*, ASME Press, 1996.
2. Kulkarni, P., Marson, A., and Dutta, D., "A Review of Process Planning Technique in Layered Manufacturing," *Rapid Prototyping Journal*, Vol. 6, No. 1, pp. 18-35, 2000.
3. Ahn, D. G., Lee, S. H., and Yang, D. Y., "Development of Transfer Type Variable Lamination Manufacturing (VLM-ST) Process," *International Journal of Machine Tools & Manufacture*, Vol. 42, No. 14, pp. 1577-1587, 2002.
4. Lee, S. H., Ahn, D. G., Choi, H. S., Yang, D. Y., Moon, Y. B., Chae, H. C., "Generation of Unit Shape Layer on CAD/CAM System for VLM-ST," *Transactions of the Society of CAD/CAM Engineers*, Vol. 7, No. 3, pp. 148-156, 2002.